

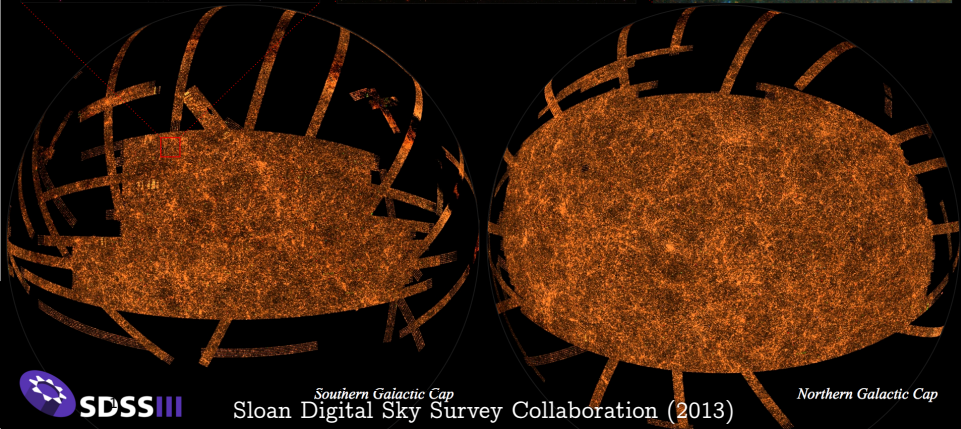
Уравнения космологической эволюции: зачем и как их решать?

А. Соболевский

Институт проблем передачи информации им. А.А. Харкевича РАН
Российско-французская математическая лаборатория им. Ж.-В. Понселе
(проект OTARIE, <http://www.mccme.ru/~ansobol/otarie/>)

Математический кружок ФУПМ МФТИ, 2 апреля 2013 г.

Каталоги галактик

**SDSS III**

Southern Galactic Cap
Sloan Digital Sky Survey Collaboration (2013)

Northern Galactic Cap

Состав наблюдаемой Вселенной в модели Λ CDM

5%: барионная материя

- ▶ подвижный светящийся «маркер» распределения масс

25%: темная материя (Cold Dark Matter)

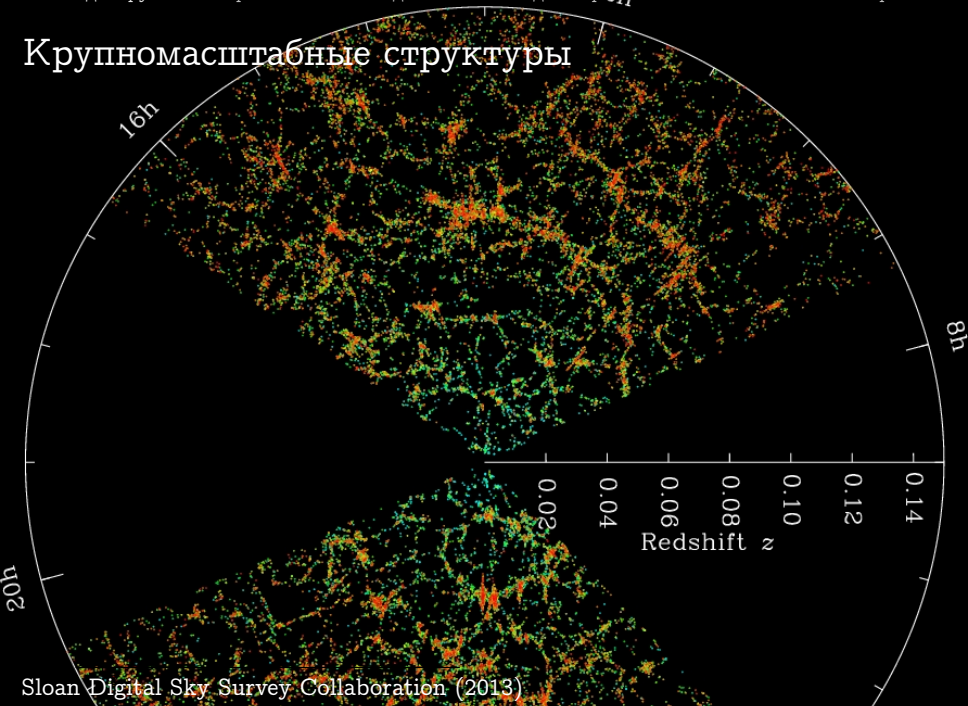
- ▶ подвижная, нерелятивистская (cold), не взаимодействует с излучением (dark)

70%: темная энергия

- ▶ « Λ -член» Эйнштейна: не участвует в движении материи, но ускоряет расширение Вселенной

Крупномасштабное распределение массы
образовано темной материей
и наблюдаемо благодаря погруженным в него галактикам.

Крупномасштабные структуры



Предыстория наблюдаемой Вселенной

?: исходная сингулярность

- ▶ от квантовой гравитации к КТП + ОТО
- ▶ инфляционное расширение в 10^{26} раз
- ▶ нарушение симметрии
кварков/антикварков

10^{-32} с: конец фазы инфляции

- ▶ кварк-глюонная плазма

1–10 с: кварки объединяются в адроны и лептоны

- ▶ аннигиляция антивещества
- ▶ излучение доминирует по энергии

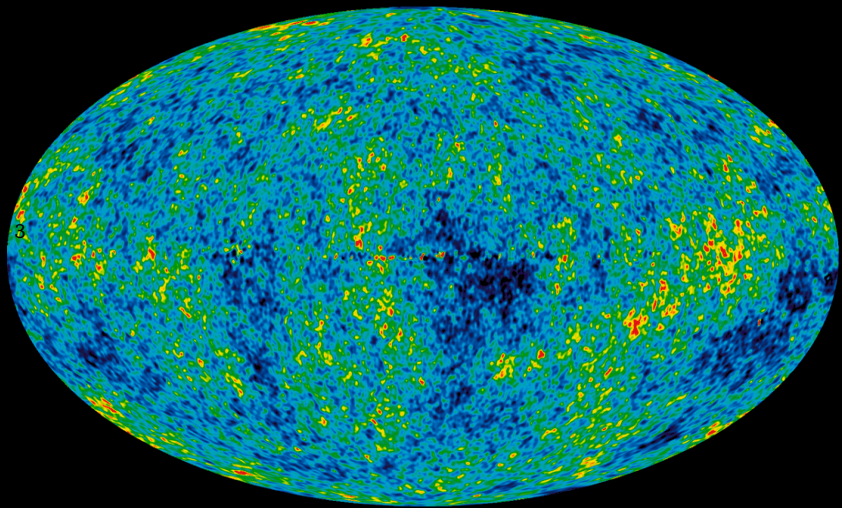
3–20 мин: протоны и нейтроны объединяются в ядра

$7 \cdot 10^4$ лет: материя догоняет излучение по энергии

$3,8 \cdot 10^5$ лет: рекомбинация ядер и электронов

- ▶ излучение отделяется от материи

После рекомбинации: реликтовое излучение



После рекомбинации: гравитационная неустойчивость

Прямое численное моделирование космологической эволюции



31.25 Mpc/h

Millennium Run:

- ▶ $N = 2160^3 \approx 10^{10}$ частиц
- ▶ масса частицы $9 \cdot 10^8 M_\odot$
- ▶ $500 \times 500 \times 500$ Мпк
- ▶ периодические краевые условия
- ▶ феноменологические модели образования звезд и пр.
в областях высокой плотности

Уравнения Эйлера–Пуассона в абсолютном пространстве

$$\frac{\partial \sigma}{\partial t} + \nabla \cdot (\sigma v) = 0$$

сохранение массы

$$\frac{\partial v}{\partial t} + (v \cdot \nabla) v = -\nabla \phi$$

уравнение Эйлера

$$\nabla^2 \phi = 4\pi G \sigma$$

уравнение Пуассона

$\sigma(t, r)$, $v(t, r)$: плотность и скорость в точке (t, r)

- ▶ Статического решения ($\sigma = \text{const}$, $v = 0$) не существует

Хаббловское расширение Уравнения Фридмана

$$\sigma = \sigma(t), \quad v = H(t)r$$

однородность + изотропия

$H(t)$: параметр («постоянная») Хаббла

Хаббловское расширение Уравнения Фридмана

$$\sigma = \sigma(t), \quad v = H(t)r \qquad \text{однородность + изотропия}$$

$H(t)$: параметр («постоянная») Хаббла

$$\frac{\partial \sigma}{\partial t} + \nabla \cdot (\sigma v) = 0; \qquad \dot{\sigma} + 3H\sigma = 0;$$

Хаббловское расширение Уравнения Фридмана

$$\sigma = \sigma(t), \quad v = H(t)r \quad \text{однородность + изотропия}$$

$H(t)$: параметр («постоянная») Хаббла

$$\frac{\partial \sigma}{\partial t} + \nabla \cdot (\sigma v) = 0; \quad \dot{\sigma} + 3H\sigma = 0;$$

$$\frac{\partial v}{\partial t} + (v \cdot \nabla) v = -\nabla \phi; \quad (\dot{H} + H^2)r = -\nabla \phi;$$

Хаббловское расширение Уравнения Фридмана

$$\sigma = \sigma(t), \quad v = H(t)r \quad \text{однородность + изотропия}$$

$H(t)$: параметр («постоянная») Хаббла

$$\frac{\partial \sigma}{\partial t} + \nabla \cdot (\sigma v) = 0; \quad \dot{\sigma} + 3H\sigma = 0;$$

$$\frac{\partial v}{\partial t} + (v \cdot \nabla) v = -\nabla \phi; \quad (\dot{H} + H^2)r = -\nabla \phi;$$

$$\nabla^2 \phi = 4\pi G \sigma; \quad 3(\dot{H} + H^2) = -4\pi G \sigma$$

Хаббловское расширение Уравнения Фридмана

$$\sigma = \sigma(t), \quad v = H(t)r \quad \text{однородность + изотропия}$$

$H(t)$: параметр («постоянная») Хаббла

$$\frac{\partial \sigma}{\partial t} + \nabla \cdot (\sigma v) = 0; \quad \dot{\sigma} + 3H\sigma = 0;$$

$$\frac{\partial v}{\partial t} + (v \cdot \nabla) v = -\nabla \phi; \quad (\dot{H} + H^2)r = -\nabla \phi;$$

$$\nabla^2 \phi = 4\pi G \sigma; \quad 3(\dot{H} + H^2) = -4\pi G \sigma$$

Хаббловское расширение

Уравнения Фридмана

$$\sigma = \sigma(t), \quad v = H(t)r \quad \text{однородность + изотропия}$$

$H(t)$: параметр («постоянная») Хаббла

$$\dot{\sigma} + 3H\sigma = 0;$$

$$(\dot{H} + H^2)r = -\nabla\phi;$$

$$3(\dot{H} + H^2) = -4\pi G\sigma$$

$$\dot{r} = H(t)r : \quad r = a(t)x, \quad v = \dot{a}x = \frac{\dot{a}}{a}r, \quad H = \frac{\dot{a}}{a}$$

$a(t)$: масштабный множитель, $a(\bar{t}) = \bar{a}$

x : вектор сопутствующих координат

Хаббловское расширение

Уравнения Фридмана

$$\sigma = \sigma(t), \quad v = H(t)r \quad \text{однородность + изотропия}$$

$H(t)$: параметр («постоянная») Хаббла

$$\dot{\sigma} + 3H\sigma = 0; \quad \sigma(t) = \frac{\bar{\sigma}}{(a/\bar{a})^3}$$

$$(\dot{H} + H^2)r = -\nabla\phi;$$

$$3(\dot{H} + H^2) = -4\pi G\sigma; \quad 3\frac{\ddot{a}}{a} = -\frac{4\pi G\bar{\sigma}}{(a/\bar{a})^3}$$

$$\dot{r} = H(t)r : \quad r = a(t)x, \quad v = \dot{a}x = \frac{\dot{a}}{a}r, \quad H = \frac{\dot{a}}{a}$$

$a(t)$: масштабный множитель, $a(\bar{t}) = \bar{a}$

x : вектор сопутствующих координат

Расширение плоской вселенной

$$\ddot{a} = -\frac{4\pi G \bar{\sigma} \bar{a}^3}{3a^2} \quad \Rightarrow \quad \frac{d}{dt} \frac{\dot{a}^2}{2} = \frac{4\pi G \bar{\sigma} \bar{a}^3}{3} \frac{d}{dt} \frac{1}{a}$$

Расширение плоской вселенной

$$\ddot{a} = -\frac{4\pi G \bar{\sigma} \bar{a}^3}{3a^2} \quad \Rightarrow \quad \frac{d}{dt} \frac{\dot{a}^2}{2} = \frac{4\pi G \bar{\sigma} \bar{a}^3}{3} \frac{d}{dt} \frac{1}{a}$$

плоская вселенная: $\dot{a}^2 = \frac{8\pi G \bar{\sigma} \bar{a}^3}{3a}$ или $\frac{\dot{a}^2}{a^2} = \frac{8\pi G \bar{\sigma}}{3} \frac{\bar{a}^3}{a^3}$

Расширение плоской вселенной

$$\ddot{a} = -\frac{4\pi G \bar{\sigma} \bar{a}^3}{3a^2} \quad \Rightarrow \quad \frac{d}{dt} \frac{\dot{a}^2}{2} = \frac{4\pi G \bar{\sigma} \bar{a}^3}{3} \frac{d}{dt} \frac{1}{a}$$

плоская вселенная: $\dot{a}^2 = \frac{8\pi G \bar{\sigma} \bar{a}^3}{3a}$ или $\frac{\dot{a}^2}{a^2} = \frac{8\pi G \bar{\sigma}}{3} \frac{\bar{a}^3}{a^3}$

критическая плотность: $\bar{\sigma} = \frac{3\bar{H}^2}{8\pi G}$, где $\bar{H} = \frac{\dot{a}(\bar{t})}{a(\bar{t})}$

масштабный множитель: $a(t) = \bar{a} \left(\frac{t}{\bar{t}} \right)^{2/3}$

параметр Хаббла: $H(t) = \frac{\dot{a}}{a} = \frac{2}{3t}$

Уравнения Эйлера–Пуассона в сопутствующих координатах

Переход к сопутствующим координатам $x = r/a$:

$$\sigma = \frac{\bar{\sigma} \bar{a}^3}{a^3} \rho, \quad v = Hr + au, \quad \nabla \phi = -(\dot{H} + H^2)r + a \nabla_x \tilde{\phi},$$

где $\rho = \rho(x, t)$, $u = u(x, t)$, $\tilde{\phi} = \tilde{\phi}(x, t)$

$$\frac{\partial \rho}{\partial t} + \nabla_x \cdot (\rho u) = 0$$

$$\frac{\partial u}{\partial t} + (u \cdot \nabla_x) u = -2Hu - \nabla_x \tilde{\phi}$$

$$\nabla_x^2 \tilde{\phi} = \frac{4\pi G \bar{\sigma} \bar{a}^3}{a^3} (\rho - 1)$$

Уравнения Эйлера–Пуассона в сопутствующих координатах

Переход к сопутствующим координатам $x = r/a$:

$$\sigma = \frac{\bar{\sigma} \bar{a}^3}{a^3} \rho, \quad v = Hr + au, \quad \nabla \phi = -(\dot{H} + H^2)r + a \nabla_x \tilde{\phi},$$

где $\rho = \rho(x, t)$, $u = u(x, t)$, $\tilde{\phi} = \tilde{\phi}(x, t)$ $\rho = 1 + \tau$

$$\frac{\partial \rho}{\partial t} + \nabla_x \cdot (\rho u) = 0$$

$$\frac{\partial \tau}{\partial t} + \nabla_x \cdot u = 0$$

$$\frac{\partial u}{\partial t} + (u \cdot \nabla_x) u = -2Hu - \nabla_x \tilde{\phi}$$

$$\frac{\partial u}{\partial t} = -2Hu - \nabla_x \tilde{\phi}$$

$$\nabla_x^2 \tilde{\phi} = \frac{4\pi G \bar{\sigma} \bar{a}^3}{a^3} (\rho - 1)$$

$$\nabla_x \cdot (\nabla_x \tilde{\phi}) = \frac{4\pi G \bar{\sigma} \bar{a}^3}{a^3} \tau$$

Уравнения Эйлера–Пуассона в сопутствующих координатах

$$\frac{\partial^2 \tau}{\partial t^2} + 2H \frac{\partial \tau}{\partial t} - \frac{4\pi G \bar{\sigma} \bar{a}^3}{a^3} \tau = 0 \quad \Rightarrow \quad \tau \sim t^{2/3} \sim a \text{ или } \tau \sim t^{-1}$$

где $\rho = \rho(x, t)$, $u = u(x, t)$, $\tilde{\phi} = \tilde{\phi}(x, t)$ $\rho = 1 + \tau$

$$\frac{\partial \rho}{\partial t} + \nabla_x \cdot (\rho u) = 0$$

$$\frac{\partial \tau}{\partial t} + \nabla_x \cdot u = 0$$

$$\frac{\partial u}{\partial t} + (u \cdot \nabla_x) u = -2H u - \nabla_x \tilde{\phi}$$

$$\frac{\partial u}{\partial t} = -2H u - \nabla_x \tilde{\phi}$$

$$\nabla_x^2 \tilde{\phi} = \frac{4\pi G \bar{\sigma} \bar{a}^3}{a^3} (\rho - 1)$$

$$\nabla_x \cdot (\nabla_x \tilde{\phi}) = \frac{4\pi G \bar{\sigma} \bar{a}^3}{a^3} \tau$$

Уравнения Эйлера–Пуассона в переменных (x, τ)

$$\frac{\partial \rho}{\partial \tau} + \nabla_x \cdot (\rho u) = 0$$

$$\frac{\partial u}{\partial \tau} + (u \cdot \nabla_x) u = -\frac{3}{2\tau} (u + \nabla_x \phi)$$

$$\nabla_x^2 \phi = \frac{\rho - 1}{\tau}$$

условия согласованности при $\tau = 0$: $u(x) = -\nabla_x \phi$, $\rho = 1$

Лагранжевы переменные и приближение Зельдовича

$$\frac{\partial \rho}{\partial t} + \nabla_x \cdot (\rho u) = 0$$

$$\frac{\partial u}{\partial \tau} + (u \cdot \nabla_x) u = -\frac{3}{2\tau}(u + \nabla_x \phi) \quad D_\tau^2 x = \frac{3}{2\tau}(D_\tau x + \nabla_x \phi)$$

$$\nabla_x^2 \phi = \frac{\rho - 1}{\tau} \quad \nabla_x^2 \phi = \frac{1}{\tau}(|\det \partial x / \partial q|^{-1} - 1)$$

$$x = x(q, \tau), \quad D_\tau = \frac{\partial}{\partial \tau} + (u \cdot \nabla_x)$$

$$\rho = |\det \frac{\partial x}{\partial q}|^{-1}, \quad u = D_\tau x$$

Лагранжевы переменные и приближение Зельдовича

$$\frac{\partial \rho}{\partial t} + \nabla_x \cdot (\rho u) = 0$$

$$\frac{\partial u}{\partial \tau} + (u \cdot \nabla_x) u = -\frac{3}{2\tau}(u + \nabla_x \phi) \quad D_\tau^2 x = \frac{3}{2\tau}(D_\tau x + \nabla_x \phi)$$

$$\nabla_x^2 \phi = \frac{\rho - 1}{\tau} \quad \nabla_x^2 \phi = \frac{1}{\tau}(|\det \partial x / \partial q|^{-1} - 1)$$

$$x = x(q, \tau), \quad D_\tau = \frac{\partial}{\partial \tau} + (u \cdot \nabla_x)$$

$$\rho = |\det \frac{\partial x}{\partial q}|^{-1}, \quad u = D_\tau x$$

приближение Зельдовича: $D_\tau^2 x = 0, x(q, \tau) = q + \tau u(q, 0)$

Приближение Зельдовича в одномерном случае

Представим $x(q, \tau) = q + \xi(q, \tau)$

$$D_\tau^2 \xi = \frac{3}{2\tau} \left(D_\tau \xi + \frac{\partial \phi}{\partial x} \right)$$

$$\frac{\partial^2 \phi}{\partial x^2} = \frac{1}{\tau} \left(\frac{\partial q}{\partial x} - 1 \right) \quad \left| \frac{\partial x}{\partial q} \right.$$

Приближение Зельдовича в одномерном случае

Представим $x(q, \tau) = q + \xi(q, \tau)$

$$D_\tau^2 \xi = \frac{3}{2\tau} \left(D_\tau \xi + \frac{\partial \phi}{\partial x} \right)$$

$$\frac{\partial^2 \phi}{\partial x^2} = \frac{1}{\tau} \left(\frac{\partial q}{\partial x} - 1 \right) \quad \left| \frac{\partial x}{\partial q} \right. \qquad \frac{\partial}{\partial q} \frac{\partial \phi}{\partial x} = \frac{1}{\tau} \left(1 - \frac{\partial x}{\partial q} \right)$$

Приближение Зельдовича в одномерном случае

Представим $x(q, \tau) = q + \xi(q, \tau)$

$$D_\tau^2 \xi = \frac{3}{2\tau} \left(D_\tau \xi + \frac{\partial \phi}{\partial x} \right)$$

$$\frac{\partial^2 \phi}{\partial x^2} = \frac{1}{\tau} \left(\frac{\partial q}{\partial x} - 1 \right) \quad \left| \frac{\partial x}{\partial q} \right. \qquad \frac{\partial \phi}{\partial x} = \frac{q - x}{\tau}$$

Приближение Зельдовича в одномерном случае

Представим $x(q, \tau) = q + \xi(q, \tau)$

$$D_\tau^2 \xi = \frac{3}{2\tau} \left(D_\tau \xi + \frac{\partial \phi}{\partial x} \right) \quad D_\tau^2 \xi = \frac{3}{2\tau} \left(D_\tau \xi - \frac{\xi}{\tau} \right)$$

$$\frac{\partial^2 \phi}{\partial x^2} = \frac{1}{\tau} \left(\frac{\partial q}{\partial x} - 1 \right) \quad \left| \frac{\partial x}{\partial q} \right. \quad \frac{\partial \phi}{\partial x} = \frac{q - x}{\tau}$$

Приближение Зельдовича в одномерном случае

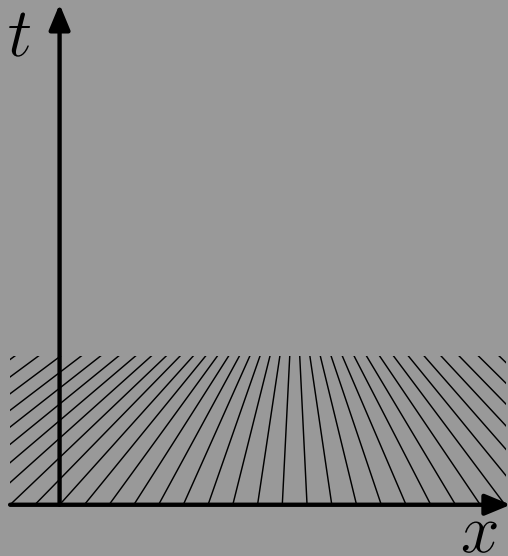
Представим $x(q, \tau) = q + \xi(q, \tau)$

$$D_\tau^2 \xi = \frac{3}{2\tau} \left(D_\tau \xi + \frac{\partial \phi}{\partial x} \right) \quad D_\tau^2 \xi = \frac{3}{2\tau} \left(D_\tau \xi - \frac{\xi}{\tau} \right)$$

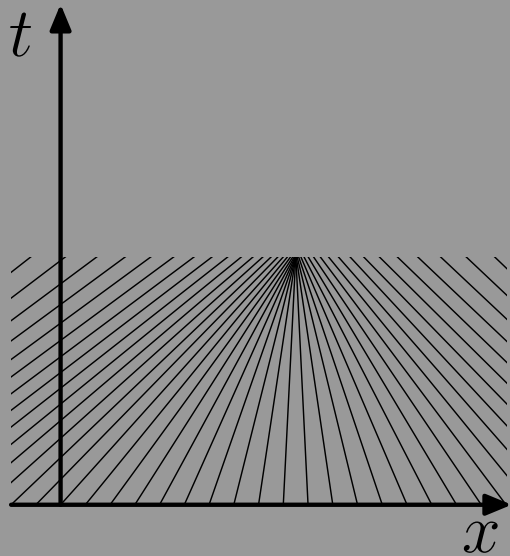
$$\frac{\partial^2 \phi}{\partial x^2} = \frac{1}{\tau} \left(\frac{\partial q}{\partial x} - 1 \right) \quad \left| \frac{\partial x}{\partial q} \right. \quad \frac{\partial \phi}{\partial x} = \frac{q - x}{\tau}$$

Точное регулярное при $\tau = 0$ решение $\xi(q, \tau) = u_0(q)\tau$

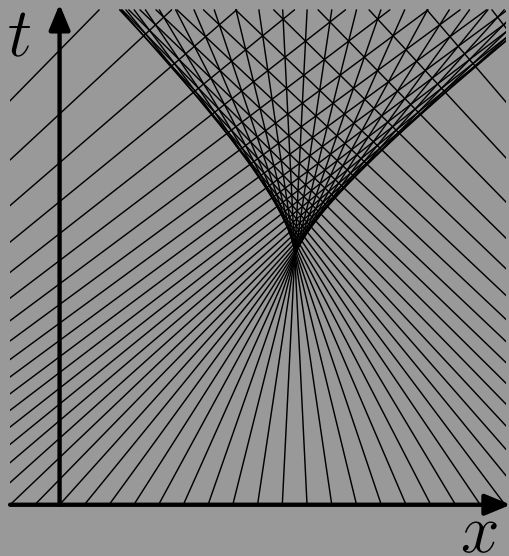
Каустики в приближении Зельдовича



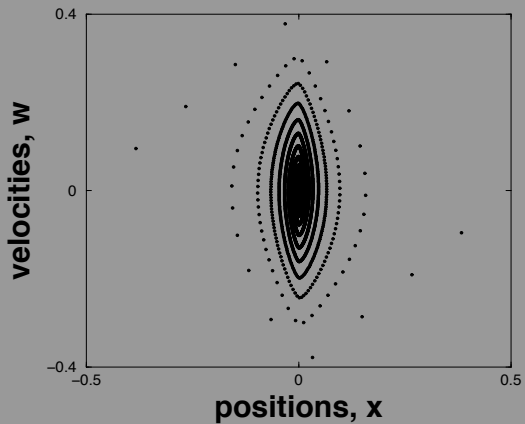
Каустики в приближении Зельдовича



Каустики в приближении Зельдовича

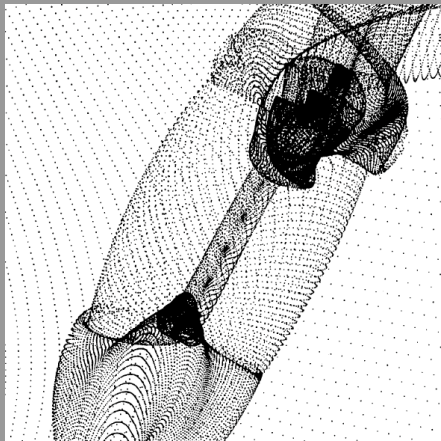
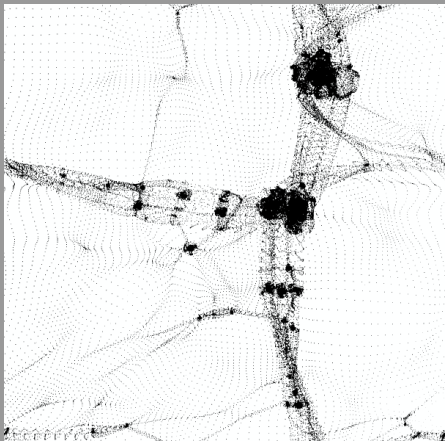


Каустики в прямом численном моделировании ($d = 1$)



D. Fanelli and E. Aurell (2002)

Каустики в прямом численном моделировании ($d = 2$)



A.L. Melott & S. Shandarin (1989)

Каустики в прямом численном моделировании ($d = 3$)

31.25 Mpc/h

Уравнения Власова–Пуассона

$$\frac{\partial f}{\partial \tau} + \frac{1}{\tau^{3/2}} (\mathbf{p} \cdot \nabla_{\mathbf{x}}) f - \frac{3\tau^{3/2}}{2} (\nabla_{\mathbf{x}} \phi \cdot \nabla_{\mathbf{p}}) f = 0$$

$$\nabla_{\mathbf{x}}^2 \phi = \frac{1}{\tau} \left(\int f \, d\mathbf{p} - 1 \right)$$

МОНОКИНЕТИЧЕСКИЕ РЕШЕНИЯ:

$$f(t, \mathbf{x}, \mathbf{p}) = \rho(\tau, \mathbf{q}) \delta(\mathbf{p} - \tau^{3/2} \mathbf{v}(\tau, \mathbf{q}))$$

Модель прилипания и принцип наименьшего действия

$$\frac{\partial \rho}{\partial t} + \nabla_x \cdot (\rho u) = 0$$

$$\frac{\partial \mathbf{u}}{\partial \tau} + (\mathbf{u} \cdot \nabla_x) \mathbf{u} = 0$$

приближение Зельдовича

$$\mathbf{u} = \nabla_x \phi$$

Модель прилипания и принцип наименьшего действия

$$\frac{\partial \rho}{\partial t} + \nabla_x \cdot (\rho u) = 0$$

$$\frac{\partial \mathbf{u}}{\partial \tau} + (\mathbf{u} \cdot \nabla_x) \mathbf{u} = \epsilon \nabla_x^2 \mathbf{u}, \quad \epsilon \downarrow 0 \quad \text{S. Gurbatov et al (1984, 1989)}$$

$$\mathbf{u} = \nabla_x \phi$$

Модель прилипания и принцип наименьшего действия

$$\frac{\partial \rho}{\partial t} + \nabla_x \cdot (\rho u) = 0$$

$$\frac{\partial \mathbf{u}}{\partial \tau} + (\mathbf{u} \cdot \nabla_x) \mathbf{u} = \epsilon \nabla_x^2 \mathbf{u}, \quad \epsilon \downarrow 0 \quad \text{S. Gurbatov et al (1984, 1989)}$$

$$\mathbf{u} = \nabla_x \phi, \quad \frac{\partial \phi}{\partial \tau} + \frac{1}{2} |\nabla_x \phi|^2 = \epsilon \nabla_x^2 \phi, \quad \epsilon \downarrow 0$$

Модель прилипания и принцип наименьшего действия

$$\frac{\partial \rho}{\partial t} + \nabla_x \cdot (\rho u) = 0$$

$$\frac{\partial \mathbf{u}}{\partial \tau} + (\mathbf{u} \cdot \nabla_x) \mathbf{u} = \epsilon \nabla_x^2 \mathbf{u}, \quad \epsilon \downarrow 0 \quad \text{S. Gurbatov et al (1984, 1989)}$$

$$\mathbf{u} = \nabla_x \phi, \quad \frac{\partial \phi}{\partial \tau} + \frac{1}{2} |\nabla_x \phi|^2 = \epsilon \nabla_x^2 \phi, \quad \epsilon \downarrow 0$$

$$D_\tau \phi = \frac{\partial \phi}{\partial \tau} + \mathbf{v} \cdot \nabla_x \phi = \mathbf{v} \cdot \nabla \phi - \frac{1}{2} |\nabla \phi|^2 \leq \frac{1}{2} |\mathbf{v}|^2$$

Модель прилипания и принцип наименьшего действия

$$\frac{\partial \rho}{\partial t} + \nabla_x \cdot (\rho u) = 0$$

$$\frac{\partial \mathbf{u}}{\partial \tau} + (\mathbf{u} \cdot \nabla_x) \mathbf{u} = \epsilon \nabla_x^2 \mathbf{u}, \quad \epsilon \downarrow 0 \quad \text{S. Gurbatov et al (1984, 1989)}$$

$$\mathbf{u} = \nabla_x \phi, \quad \frac{\partial \phi}{\partial \tau} + \frac{1}{2} |\nabla_x \phi|^2 = \epsilon \nabla_x^2 \phi, \quad \epsilon \downarrow 0$$

$$D_\tau \phi = \frac{\partial \phi}{\partial \tau} + \mathbf{v} \cdot \nabla_x \phi = \mathbf{v} \cdot \nabla \phi - \frac{1}{2} |\nabla \phi|^2 \leq \frac{1}{2} |\mathbf{v}|^2$$

$$\phi(\mathbf{x}, \tau) = \min_{\mathbf{x}(\cdot): \mathbf{x}(\tau) = \mathbf{x}} \left(\phi(\mathbf{x}(0), 0) + \int_0^\tau \frac{1}{2} |\dot{\mathbf{x}}(s)|^2 \, ds \right) \quad (\text{действие})$$

Модель прилипания и принцип наименьшего действия

$$\frac{\partial \rho}{\partial t} + \nabla_x \cdot (\rho u) = 0$$

$$\frac{\partial u}{\partial \tau} + (u \cdot \nabla_x) u = \epsilon \nabla_x^2 u, \quad \epsilon \downarrow 0 \quad \text{S. Gurbatov et al (1984, 1989)}$$

$$u = \nabla_x \phi, \quad \frac{\partial \phi}{\partial \tau} + \frac{1}{2} |\nabla_x \phi|^2 = \epsilon \nabla_x^2 \phi, \quad \epsilon \downarrow 0$$

$$D_\tau \phi = \frac{\partial \phi}{\partial \tau} + v \cdot \nabla_x \phi = v \cdot \nabla \phi - \frac{1}{2} |\nabla \phi|^2 \leq \frac{1}{2} |v|^2$$

$$\phi(x, \tau) = \min_q \left(\phi(q, 0) + \frac{1}{2\tau} |x - q|^2 \right)$$

Модель прилипания и принцип наименьшего действия

$$\frac{\partial \rho}{\partial t} + \nabla_x \cdot (\rho u) = 0$$

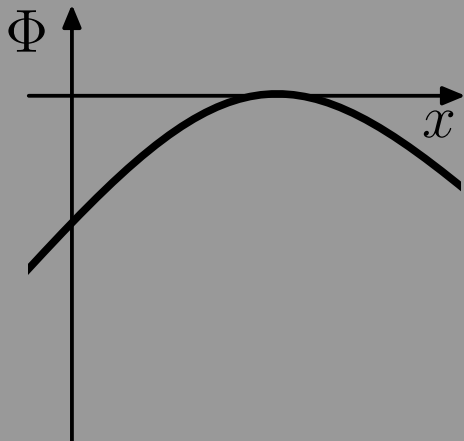
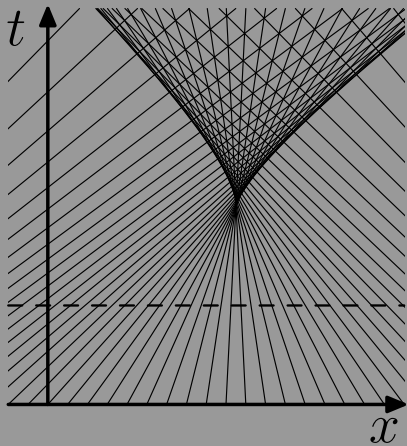
$$\frac{\partial u}{\partial \tau} + (u \cdot \nabla_x) u = \epsilon \nabla_x^2 u, \quad \epsilon \downarrow 0 \quad \text{S. Gurbatov et al (1984, 1989)}$$

$$u = \nabla_x \phi, \quad \frac{\partial \phi}{\partial \tau} + \frac{1}{2} |\nabla_x \phi|^2 = \epsilon \nabla_x^2 \phi, \quad \epsilon \downarrow 0$$

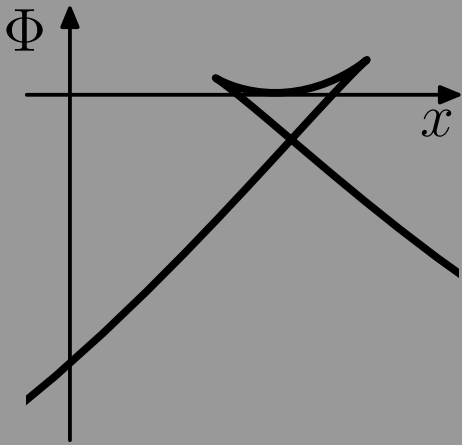
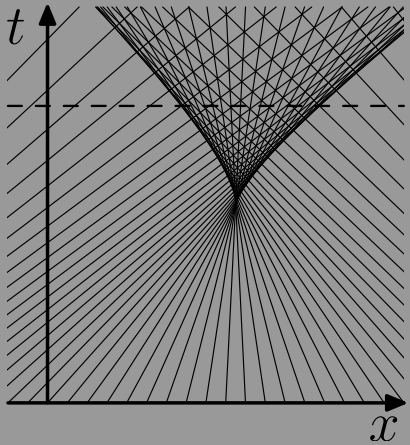
$$D_\tau \phi = \frac{\partial \phi}{\partial \tau} + v \cdot \nabla_x \phi = v \cdot \nabla \phi - \frac{1}{2} |\nabla \phi|^2 \leq \frac{1}{2} |v|^2$$

$$\phi(x, \tau) = \frac{1}{2\tau} |x|^2 - \frac{1}{\tau} \max_q \left[q \cdot x - \left(\frac{1}{2} |q|^2 + \tau \phi(q, 0) \right) \right]$$

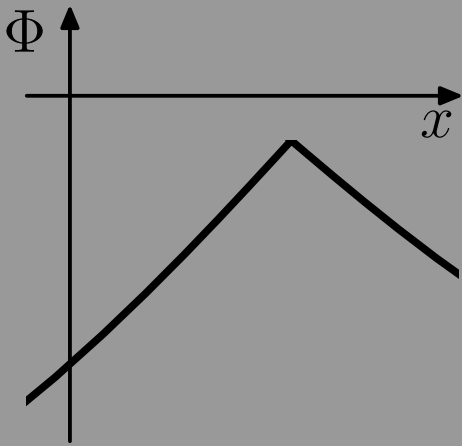
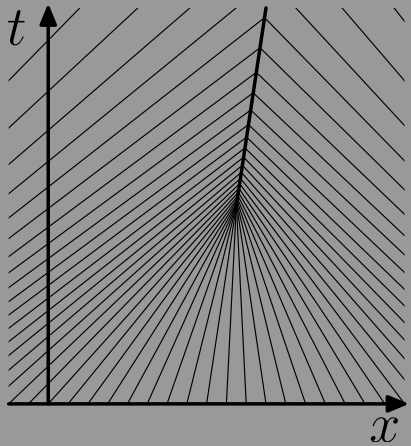
Модель прилипания и принцип наименьшего действия



Модель прилипания и принцип наименьшего действия



Модель прилипания и принцип наименьшего действия



Сингулярные многообразия в решениях модели прилипания

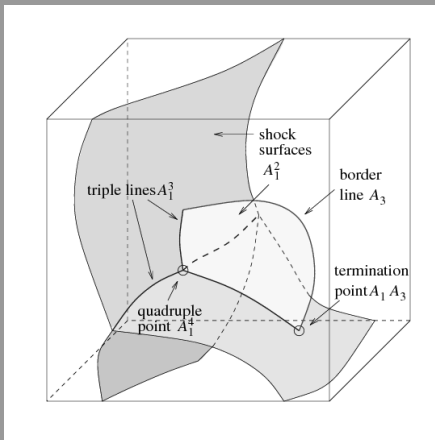


Схема из J. Bec and K. Khanin (2007)

Динамика внутри сингулярных многообразий

Обрываются ли траектории частиц, попавших на
сингулярное многообразие?

$$\frac{\partial \phi^\epsilon}{\partial \tau} + \frac{1}{2} |\nabla_x \phi^\epsilon|^2 = \epsilon \nabla_x^2 \phi^\epsilon, \quad \epsilon > 0$$

$$\dot{x}^\epsilon(\tau) = u^\epsilon(x^\epsilon, \tau) = \nabla_x \phi^\epsilon(x^\epsilon, \tau); \quad x(\tau) = \lim_{\epsilon \downarrow 0} x^\epsilon(\tau)$$

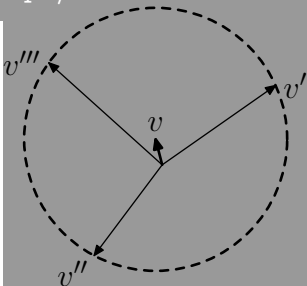
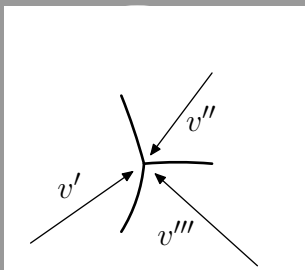
Динамика внутри сингулярных многообразий

Обрываются ли траектории частиц, попавших на сингулярное многообразие?

$$\frac{\partial \phi^\epsilon}{\partial \tau} + \frac{1}{2} |\nabla_x \phi^\epsilon|^2 = \epsilon \nabla_x^2 \phi^\epsilon, \quad \epsilon > 0$$

$$\dot{x}^\epsilon(\tau) = u^\epsilon(x^\epsilon, \tau) = \nabla_x \phi^\epsilon(x^\epsilon, \tau); \quad x(\tau) = \lim_{\epsilon \downarrow 0} x^\epsilon(\tau)$$

Богаевский, arXiv:math-ph/0407073:



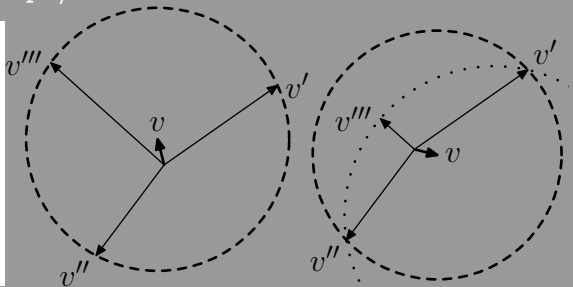
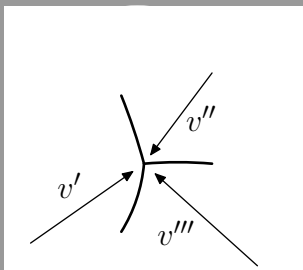
Динамика внутри сингулярных многообразий

Обрываются ли траектории частиц, попавших на сингулярное многообразие?

$$\frac{\partial \phi^\epsilon}{\partial \tau} + \frac{1}{2} |\nabla_x \phi^\epsilon|^2 = \epsilon \nabla_x^2 \phi^\epsilon, \quad \epsilon > 0$$

$$\dot{x}^\epsilon(\tau) = u^\epsilon(x^\epsilon, \tau) = \nabla_x \phi^\epsilon(x^\epsilon, \tau); \quad x(\tau) = \lim_{\epsilon \downarrow 0} x^\epsilon(\tau)$$

Богаевский, arXiv:math-ph/0407073:



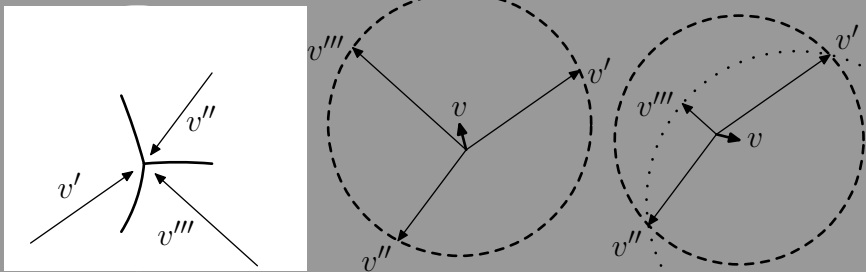
Динамика внутри сингулярных многообразий

Обрываются ли траектории частиц, попавших на сингулярное многообразие?

$$\frac{\partial \phi^\epsilon}{\partial \tau} + \frac{1}{2} |\nabla_x \phi^\epsilon|^2 = \epsilon \nabla_x^2 \phi^\epsilon, \quad \epsilon > 0$$

$$\dot{x}^\epsilon(\tau) = u^\epsilon(x^\epsilon, \tau) = \nabla_x \phi^\epsilon(x^\epsilon, \tau); \quad x(\tau) = \lim_{\epsilon \downarrow 0} x^\epsilon(\tau)$$

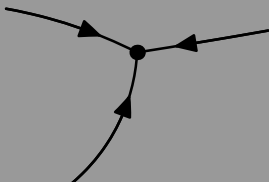
Богаевский, arXiv:math-ph/0407073:



Cannarsa and Yu (2009); A.S. and K. Khanin (2010)
обобщение на произвольный выпуклый гамильтониан

Удерживающие и неудерживающие узлы сингулярностей

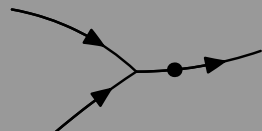
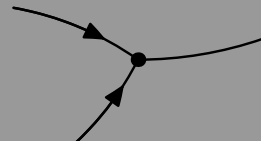
► удерживающий узел:



► неудерживающий узел:



► формирование и отрыв кластера:



Модель прилипания с сохранением импульса

$$\begin{aligned}\frac{\partial \rho}{\partial \tau} + \nabla_x \cdot (\rho u) &= 0 & | \quad u \\ \frac{\partial u}{\partial \tau} + (u \cdot \nabla_x) u &= 0 & | \quad \rho\end{aligned}$$

$$\begin{aligned}\frac{\partial \rho}{\partial \tau} + \nabla_x \cdot (\rho u) &= 0 \\ \frac{\partial(\rho u)}{\partial \tau} + \nabla \cdot (\rho u \otimes u) &= 0\end{aligned}$$

В одномерном случае два эквивалентных построения:

- ▶ формула Лакса–Олейник в лагранжевых *массовых* координатах:
E, Rykov, Sinai (1996), Brenier, Grenier (1998)
- ▶ ортогональная проекция на множество допустимых конфигураций: Shnirelman (1986)

Формула Лакса–Олейник в массовых координатах

$$\frac{\partial \rho}{\partial \tau} + \frac{\partial(\rho u)}{\partial x} = 0 \quad \rho dx - \rho u d\tau = dm$$

$$\frac{\partial(\rho u)}{\partial \tau} + \frac{\partial(\rho u^2)}{\partial x} = 0 \quad \rho u dx - \rho u^2 d\tau = dz$$

Формула Лакса–Олейник в массовых координатах

$$\frac{\partial \rho}{\partial \tau} + \frac{\partial(\rho u)}{\partial x} = 0 \quad \rho dx - \rho u d\tau = dm$$

$$\frac{\partial(\rho u)}{\partial \tau} + \frac{\partial(\rho u^2)}{\partial x} = 0 \quad \rho u dx - \rho u^2 d\tau = dz$$

$$-\rho u = \frac{\partial m}{\partial \tau} = -\frac{\partial z}{\partial x}: \quad \frac{\partial m}{\partial \tau} + \frac{\partial z}{\partial x} = 0$$

$$-\rho^2 u^2 = \frac{\partial m}{\partial \tau} \frac{\partial z}{\partial x} = \frac{\partial m}{\partial x} \frac{\partial z}{\partial \tau}: \quad \frac{\partial(m, z)}{\partial(\tau, x)} = 0$$

Формула Лакса–Олейник в массовых координатах

$$\frac{\partial \rho}{\partial \tau} + \frac{\partial(\rho u)}{\partial x} = 0 \quad \rho dx - \rho u d\tau = dm$$

$$\frac{\partial(\rho u)}{\partial \tau} + \frac{\partial(\rho u^2)}{\partial x} = 0 \quad \rho u dx - \rho u^2 d\tau = dz$$

$$-\rho u = \frac{\partial m}{\partial \tau} = -\frac{\partial z}{\partial x}: \quad \frac{\partial m}{\partial \tau} + \frac{\partial z}{\partial x} = 0$$

$$-\rho^2 u^2 = \frac{\partial m}{\partial \tau} \frac{\partial z}{\partial x} = \frac{\partial m}{\partial x} \frac{\partial z}{\partial \tau}: \quad \frac{\partial(m, z)}{\partial(\tau, x)} = 0, \quad z = \zeta(m)$$

Формула Лакса–Олейник в массовых координатах

$$\frac{\partial \rho}{\partial \tau} + \frac{\partial(\rho u)}{\partial x} = 0 \quad \rho dx - \rho u d\tau = dm$$

$$\frac{\partial(\rho u)}{\partial \tau} + \frac{\partial(\rho u^2)}{\partial x} = 0 \quad \rho u dx - \rho u^2 d\tau = dz$$

$$-\rho u = \frac{\partial m}{\partial \tau} = -\frac{\partial z}{\partial x}: \quad \frac{\partial m}{\partial \tau} + \frac{\partial z}{\partial x} = 0$$

$$-\rho^2 u^2 = \frac{\partial m}{\partial \tau} \frac{\partial z}{\partial x} = \frac{\partial m}{\partial x} \frac{\partial z}{\partial \tau}: \quad \frac{\partial(m, z)}{\partial(\tau, x)} = 0, \quad z = \zeta(m)$$

$$\frac{\partial m}{\partial \tau} + \frac{\partial \zeta(m)}{\partial x} = 0 \quad \text{или } m = \frac{\partial \psi}{\partial x}, \quad \frac{\partial \psi}{\partial \tau} + \zeta \left(\frac{\partial \psi}{\partial x} \right) = 0$$

$$\psi(x, \tau) = \max_m [mx - (\psi^*(m, 0) + \tau \zeta(m))]$$

Проекционная конструкция

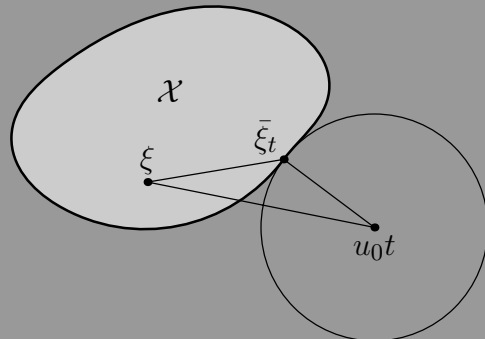
приближение Зельдовича: $x(q, \tau) = q + u(q)\tau$

— теряет взаимную однозначность (монотонность) после образования каустик

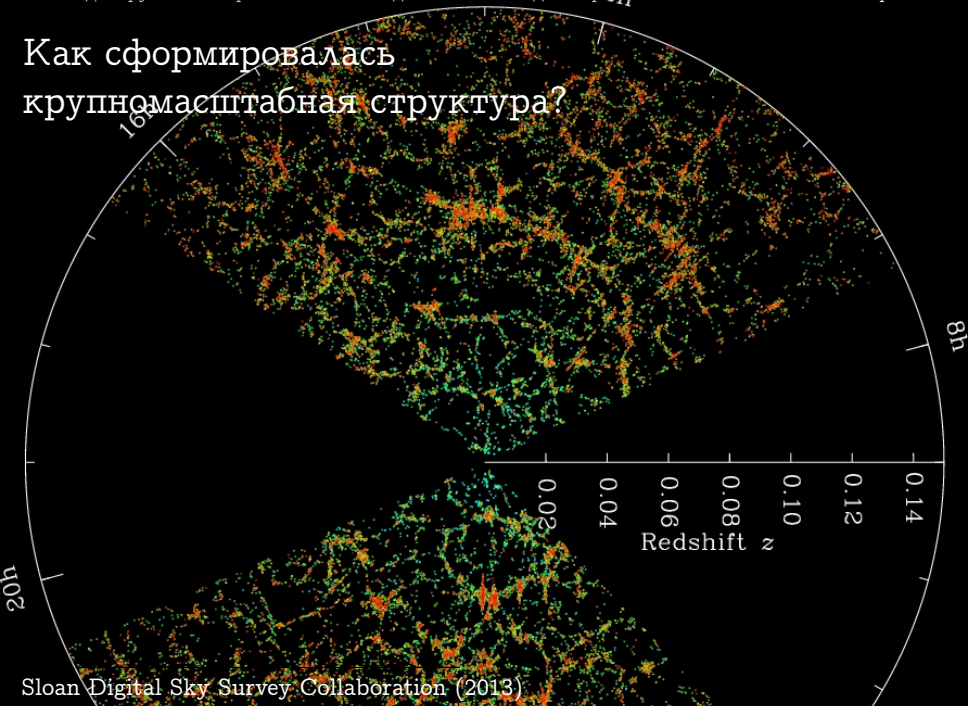
множество допустимых конфигураций: $\mathcal{X} = \{x(\cdot)\}$

— замкнутое выпуклое множество в $L^2(\mathbf{R}; \rho_0(\cdot))$

динамика: $\bar{x}(\cdot, \tau) = \text{Proj}_{\mathcal{X}} x(\cdot, \tau)$



Как сформировалась
крупномасштабная структура?



Как сформировалась крупномасштабная структура?

- ▶ замена каустик на сингулярности
- ▶ приближение Зельдовича
+ модель прилипания
- ▶ число неизвестных = числу ограничений

Redshift z

Frisch et al. (2002); Brenier et al. (2003)

Уравнение Монжа–Ампера

модель прилипания:

$$D_\tau^2 x = -\frac{3}{2\tau} (D_\tau x + \nabla_x \phi) \approx 0 \quad \text{приближение Зельдовича}$$

Уравнение Монжа–Ампера

модель прилипания:

$$D_\tau^2 x = -\frac{3}{2\tau}(D_\tau x + \nabla_x \phi) \approx 0 \quad \text{приближение Зельдовича}$$
$$x(q, \tau) \approx q + \tau D_\tau x(q, 0) = q - \tau \nabla_q \phi(q, 0)$$

Уравнение Монжа–Ампера

модель прилипания:

$$D_\tau^2 x = -\frac{3}{2\tau}(D_\tau x + \nabla_x \phi) \approx 0 \quad \text{приближение Зельдовича}$$

$$x(q, \tau) \approx q + \tau D_\tau x(q, 0) = q - \tau \nabla_q \phi(q, 0) = \nabla_x \Phi(q, \tau)$$

$$\Phi(q, \tau) = \frac{|q|^2}{2} - \tau \phi(q, 0) \quad \text{выпуклый потенциал}$$

Уравнение Монжа–Ампера

модель прилипания:

$$D_\tau^2 x = -\frac{3}{2\tau} (D_\tau x + \nabla_x \phi) \approx 0 \quad \text{приближение Зельдовича}$$

$$x(q, \tau) \approx q + \tau D_\tau x(q, 0) = q - \tau \nabla_q \phi(q, 0) = \nabla_x \Phi(q, \tau)$$

$$\Phi(q, \tau) = \frac{|q|^2}{2} - \tau \phi(q, 0) \quad \text{выпуклый потенциал}$$

сохранение массы: $\rho_0 dq = \rho(x, \tau) dx$

$$\det(\partial_{q_i} \partial_{q_j} \Phi) = \frac{\rho_0}{\rho(\nabla_q \Phi, \tau)}$$

Уравнение Монжа–Ампера

модель прилипания:

$$D_\tau^2 x = -\frac{3}{2\tau}(D_\tau x + \nabla_x \phi) \approx 0 \quad \text{приближение Зельдовича}$$

$$x(q, \tau) \approx q + \tau D_\tau x(q, 0) = q - \tau \nabla_q \phi(q, 0) = \nabla_x \Phi(q, \tau)$$

$$\Phi(q, \tau) = \frac{|q|^2}{2} - \tau \phi(q, 0) \quad \text{выпуклый потенциал}$$

сохранение массы: $\rho_0 dq = \rho(x, \tau) dx$

$$\det(\partial_{q_i} \partial_{q_j} \Phi) = \frac{\rho_0}{\rho(\nabla_q \Phi, \tau)}$$

преобразование Лежандра: $\nabla_x \Theta = (\nabla_q \Phi)^{-1}$

$$\det(\partial_{x_i} \partial_{x_j} \Theta) = \rho(x, \tau) / \rho_0$$

Минимизация среднеквадратичного смещения

При краевых условиях $\rho_0(q) dq = \rho(x, \tau) dx$, где $x = x(q)$,
минимизировать

$$I = \int_{V_0} \frac{1}{2} |x(q) - q|^2 \rho_0(q) dq = \int_{V_\tau} \frac{1}{2} |x - q(x)|^2 \rho(x, \tau) dx$$

Минимизация среднеквадратичного смещения

При краевых условиях $\rho_0(q) dq = \rho(x, \tau) dx$, где $x = x(q)$,
минимизировать

$$I = \int_{V_0} \frac{1}{2} |x(q) - q|^2 \rho_0(q) dq = \int_{V_\tau} \frac{1}{2} |x - q(x)|^2 \rho(x, \tau) dx$$

Вариация смещений $x(q) \mapsto x(q) + \delta x(q)$ сохраняет $\rho(x, \tau)$:

$$\nabla_x \cdot (\rho(x, \tau) \delta x(q(x))) = 0$$

Минимизация среднеквадратичного смещения

При краевых условиях $\rho_0(q) dq = \rho(x, \tau) dx$, где $x = x(q)$, минимизировать

$$I = \int_{V_0} \frac{1}{2} |x(q) - q|^2 \rho_0(q) dq = \int_{V_\tau} \frac{1}{2} |x - q(x)|^2 \rho(x, \tau) dx$$

Вариация смещений $x(q) \mapsto x(q) + \delta x(q)$ сохраняет $\rho(x, \tau)$:

$$\nabla_x \cdot (\rho(x, \tau) \delta x(q(x))) = 0$$

Вариация функционала:

$$\begin{aligned} \delta I &= \int_{V_0} (x(q) - q) \cdot \delta x(q) \rho_0(q) dq \\ &= \int_{V_\tau} (x - q(x)) \cdot \delta x(q(x)) \rho(x, \tau) dx = 0 \end{aligned}$$

Следовательно, $x - q(x)$ есть градиент

Выпуклость и монотонность

Что мы знаем про поле смещений $x - q(x)$?

Оно потенциально, так что $q(x) = \nabla_x \Theta(x)$,
и монотонно:

$$(x_1 - x_2) \cdot (q(x_1) - q(x_2)) \geq 0$$

Выпуклость и монотонность

Что мы знаем про поле смещений $x - q(x)$?

Оно потенциально, так что $q(x) = \nabla_x \Theta(x)$,
и монотонно:

$$(x_1 - x_2) \cdot (q(x_1) - q(x_2)) \geq 0$$

Действительно, пусть последнее неравенство нарушено:

$$-x_1 \cdot q(x_2) - x_2 \cdot q(x_1) < -x_1 \cdot q(x_1) - x_2 \cdot q(x_2)$$

$$\frac{1}{2}|x_2 - q(x_1)|^2 + \frac{1}{2}|x_1 - q(x_2)|^2 < \frac{1}{2}|x_1 - q(x_1)|^2 + \frac{1}{2}|x_2 - q(x_2)|^2$$

Следовательно, отображение $q(x)$ неоптимально.

Выпуклость и монотонность

Что мы знаем про поле смещений $x - q(x)$?

Оно потенциально, так что $q(x) = \nabla_x \Theta(x)$,
и монотонно:

$$(x_1 - x_2) \cdot (q(x_1) - q(x_2)) \geq 0$$

Действительно, пусть последнее неравенство нарушено:

$$-x_1 \cdot q(x_2) - x_2 \cdot q(x_1) < -x_1 \cdot q(x_1) - x_2 \cdot q(x_2)$$

$$\frac{1}{2}|x_2 - q(x_1)|^2 + \frac{1}{2}|x_1 - q(x_2)|^2 < \frac{1}{2}|x_1 - q(x_1)|^2 + \frac{1}{2}|x_2 - q(x_2)|^2$$

Следовательно, отображение $q(x)$ неоптимально.

$$(x_1 - x_2) \cdot (\nabla_x \Theta(x_1) - \nabla_x \Theta(x_2)) \geq 0, \text{ т. е. } \Theta \text{ выпукла}$$

Выпуклость и монотонность

Что мы знаем про поле смещений $x - q(x)$?

Оно потенциально, так что $q(x) = \nabla_x \Theta(x)$,
и монотонно:

$$(x_1 - x_2) \cdot (q(x_1) - q(x_2)) \geq 0$$

Циклическая монотонность $q(\cdot)$: для любого $k > 1$

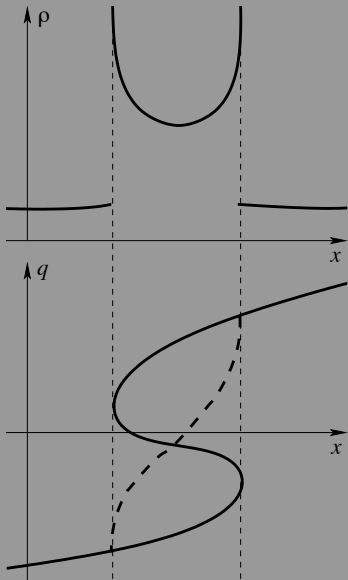
$$\begin{aligned} -x_1 \cdot q(x_k) - x_2 \cdot q(x_1) - \cdots - x_k \cdot q(x_{k-1}) \\ \geq -x_1 \cdot q(x_1) - \cdots - x_k \cdot q(x_k) \end{aligned}$$

\Rightarrow существует такая выпуклая $\Theta(\cdot)$,
что $q(x)$ задает наклон опорной плоскости к графику $\Theta(x)$

Это позволяет рассматривать негладкие потенциалы Θ, Φ
и многозначные отображения $q(x), x(q)$

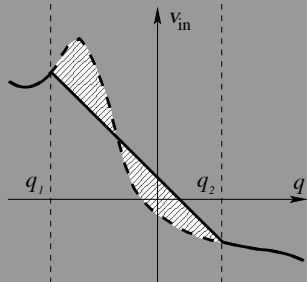
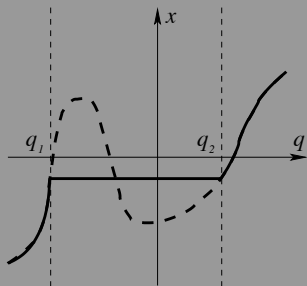
Источники ошибок реконструкции

- ▶ потеря единственности в многопотоковом течении
- ▶ потеря информации на сингулярном многообразии
- ▶ неизвестные границы носителя $\rho_0(q)$



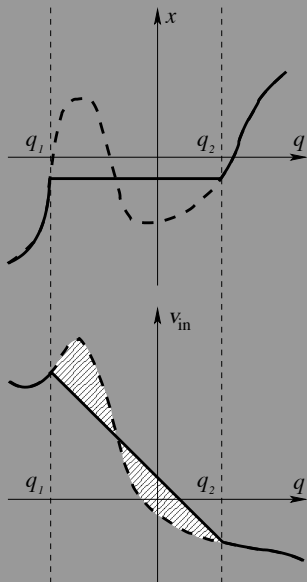
Источники ошибок реконструкции

- ▶ потеря единственности в многопотоковом течении
- ▶ потеря информации на сингулярном многообразии
- ▶ неизвестные границы носителя $\rho_0(q)$



Источники ошибок реконструкции

- ▶ потеря единственности в многопотоковом течении
- ▶ потеря информации на сингулярном многообразии
- ▶ неизвестные границы носителя $\rho_0(q)$
- ▶ восстановление монотонного отображения вместо циклически монотонного, Croft and Gaztañaga (1997)



Метод МАК

современное распределение: из каталога галактик

$$\rho(x, \tau) = \sum_i m_i \delta(x - x_i)$$

начальное распределение: регулярная сетка (q_j)

$$\rho_0(q) = \sum_j \mu \delta(q - q_j) \quad (m_i \text{ выбираются кратными } \mu)$$

задача о назначениях: минимизировать $\frac{1}{2} \sum_{i,j} \gamma_{ij} |x_i - q_j|^2$

при условиях $\gamma_{ij} \geq 0$, $\sum_j \gamma_{ij} = m_i$, $\sum_i \gamma_{ij} = \mu$

двойственная задача: максимизировать $-\sum_i m_i \theta_i - \mu \sum_j \phi_j$

при условиях $\frac{1}{2} |x_i - q_j|^2 + \theta_i + \phi_j \geq 0$

$$\min_{\gamma_{ij} \geq 0} \max_{\theta_i, \phi_j} \left[\sum_{i,j} \gamma_{ij} \left(\frac{1}{2} |x_i - q_j|^2 + \sum_i \theta_i (\sum_j \gamma_{ij} - m_i) + \sum_j \phi_j (\sum_i \gamma_{ij} - \mu) \right) \right]$$

Метод МАК

современное распределение: из каталога галактик

$$\rho(x, \tau) = \sum_i m_i \delta(x - x_i)$$

начальное распределение: регулярная сетка (q_j)

$$\rho_0(q) = \sum_j \mu \delta(q - q_j) \quad (m_i \text{ выбираются кратными } \mu)$$

задача о назначениях: минимизировать $\frac{1}{2} \sum_{i,j} \gamma_{ij} |x_i - q_j|^2$

при условиях $\gamma_{ij} \geq 0$, $\sum_j \gamma_{ij} = m_i$, $\sum_i \gamma_{ij} = \mu$

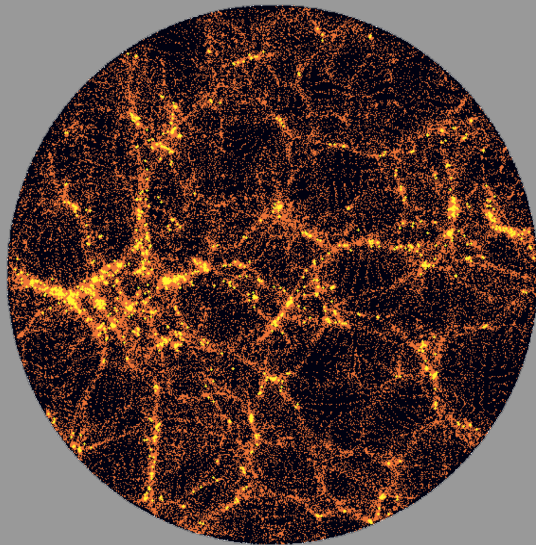
двойственная задача: максимизировать $-\sum_i m_i \theta_i - \mu \sum_j \phi_j$

при условиях $\frac{1}{2} |x_i - q_j|^2 + \theta_i + \phi_j \geq 0$

$$\min_{\gamma_{ij} \geq 0} \max_{\theta_i, \phi_j} \left[\sum_{i,j} \gamma_{ij} \left(\frac{1}{2} |x_i - q_j|^2 + \theta_i + \phi_j \right) - \sum_i m_i \theta_i - \mu \sum_j \phi_j \right]$$

Тестирование метода МАК

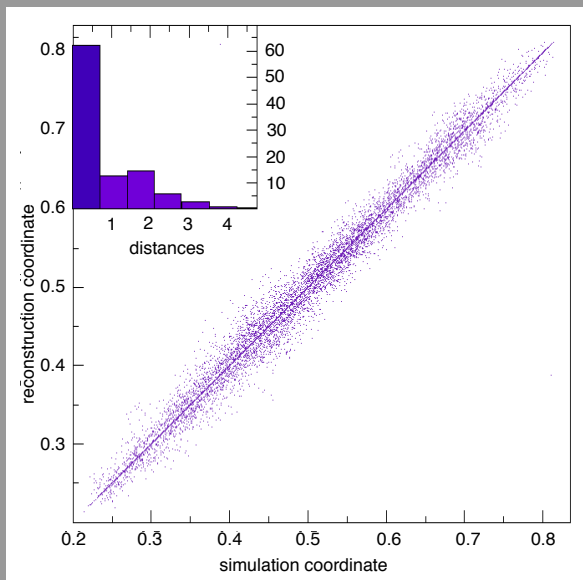
- ▶ $N = 128^3$ частиц
- ▶ $200 \times 200 \times 200$ Мпк
- ▶ периодические краевые условия
- ▶ вписанной сферой высечено 17178 частиц из подрешетки с 32^3 вершинами



Результаты тестирования

«квазипериодическая проекция»:

$$\tilde{q} = \frac{q_1 + \sqrt{2}q_2 + \sqrt{3}q_3}{1 + \sqrt{2} + \sqrt{3}}$$



Выпуклые функции и преобразование Лежандра

Выпуклая функция — верхняя огибающая
семейства касательных к своему графику:

$$f(x) = \sup_q [q \cdot x - g(q)] \quad (*)$$

Выпуклые функции и преобразование Лежандра

Выпуклая функция — верхняя огибающая семейства касательных к своему графику:

$$f(x) = \sup_q [q \cdot x - g(q)] \quad (*)$$

Неравенство Юнга:

$$f(x) + g(q) \geq x \cdot q \quad \text{для всех } x, q$$

Выпуклые функции и преобразование Лежандра

Выпуклая функция — верхняя огибающая
семейства касательных к своему графику:

$$f(x) = \sup_q [q \cdot x - g(q)], \quad g(q) = \sup_x [q \cdot x - f(x)] \quad (*)$$

Неравенство Юнга:

$$f(x) + g(q) \geq x \cdot q \quad \text{для всех } x, q$$

$f(\cdot)$, $g(\cdot)$ — преобразования Лежандра друг друга

Выпуклые функции и преобразование Лежандра

Выпуклая функция — верхняя огибающая семейства касательных к своему графику:

$$f(x) = \sup_q [q \cdot x - g(q)], \quad g(q) = \sup_x [q \cdot x - f(x)] \quad (*)$$

Неравенство Юнга:

$$f(x) + g(q) \geq x \cdot q \quad \text{для всех } x, q$$

$f(\cdot), g(\cdot)$ — преобразования Лежандра друг друга

В гладком случае равенства в (*) достигаются при

$$x = \nabla_q g(q), \quad q = \nabla_x f(x)$$

(назад к уравнению Монжа–Ампера...)

Список литературы

- И. А. Богаевский. Разрывные градиентные дифференциальные уравнения и траектории в вариационном исчислении. *Математический сборник*, 197(12):11–42, 2006. doi: 10.4213/sm1502.
- J. Bec and K. Khanin. Burgers turbulence. *Physics Reports*, 447(1-2):1–66, 2007. doi: 10.1016/j.physrep.2007.04.002.
- I. A. Bogaevsky. Matter evolution in Burgulence, Jul 2004.
- Y. Brenier and E. Grenier. Sticky particles and scalar conservation laws. *SIAM J. Numer. Anal.*, 35(6), 1998.

Список литературы (продолж.)

- Y. Brenier, U. Frisch, M. Hénon, G. Loeper, S. Matarrese, R. Mohayaee, and A. Sobolevskii. Reconstruction of the early Universe as a convex optimization problem. *Monthly Notices of the Royal Astronomical Society*, 346(2):501–524, December 2003. ISSN 0035-8711. doi: 10.1046/j.1365-2966.2003.07106.x.
- P. Cannarsa and Y. Yu. Singular dynamics for semiconcave functions. *Journal of the European Mathematical Society*, 11:999–1024, 2009. doi: 10.4171/JEMS/173.
- R. A. Croft and E. Gaztañaga. Reconstruction of cosmological density and velocity fields in the Lagrangian Zel'dovich approximation. *Mon. Not. R. Astron. Soc.*, 285:793–805, 1997.

Список литературы (продолж.)

- W. E, Y. Rykov, and Y. Sinai. Generalized variational principles, global weak solutions and behavior with random initial data for systems of conservation laws arising in adhesion particle dynamics. *Communications in Mathematical Physics*, 177(2):349–380, 1996.
- D. Fanelli and E. Aurell. Asymptotic behavior of a planar perturbation in a three dimensional expanding universe. *Astron. Astrophys.*, 395:399–408, 2002.
- U. Frisch, S. Matarrese, R. Mohayaee, and A. Sobolevski. A reconstruction of the initial conditions of the universe by optimal mass transportation. *Nature*, 417:260–262, 2002. doi: 10.1038/417260a.

Список литературы (продолж.)

- S. N. Gurbatov, A. I. Saichev, and S. Shandarin. The large-scale structure of the Universe in the frame of the model equation of non-linear diffusion. *Mon. Not. R. Astron. Soc.*, 236:385–402, 1989.
- K. Khanin and A. Sobolevski. Particle dynamics inside shocks in Hamilton–Jacobi equations. *Phil. Trans. R. Soc. A*, 168 (1916):1579–1593, 2010. doi: 10.1098/rsta.2009.0283.
- A. Melott and S. Shandarin. Gravitational instability with high resolution. *The Astrophysical Journal*, 343:26–30, 1989. doi: doi:10.1086/167681.
- M. Sever. An existence theorem in the large for zero-pressure gas dynamics. *Differential Integral Equations*, 14(9): 1077–1092, 2001.

Список литературы (продолж.)

A. I. Shnirel'man. On the principle of the shortest way in the dynamics of systems with constraints. In *Global analysis—studies and applications, II*, volume 1214 of *Lecture Notes in Math.*, pages 117–130. Springer, Berlin, 1986.

Sloan Digital Sky Survey Collaboration. Sloan digital sky survey, 2013. URL <http://www.sdss.org/>.

V. Springel, S. D. M. White, A. Jenkins, C. S. Frenk, N. Yoshida, L. Gao, J. Navarro, R. Thacker, D. Croton, J. Helly, J. A. Peacock, S. Cole, P. Thomas, H. Couchman, A. Evrard, J. Colberg, and F. Pearce. Simulations of the formation, evolution and clustering of galaxies and quasars. *Nature*, 435(7042):629–636, June 2005. doi: 10.1038/nature03597.

Список литературы (продолж.)

Wilkinson Microwave Anisotropy Probe Team. Wilkinson microwave anisotropy probe, 2012. URL <http://map.gsfc.nasa.gov/>.